

九州大学 正員 〇横辺 訓南

” 学生員 岡田 豊昭

” ” 正木 清嗣

粗面上の流れにおいて、いわゆる対数分布式が、粗面近傍に於ては成立しないことは、古くから指摘されてきた。この roughness layer の存在は流速の絶対値を決める上に重要であるばかりでなく、sand wave による roughness layer の存在は、浮流砂量の推定においても、最も重要な役割を果すことが、横辺氏によつて指摘されている。この様な意味で、種々の型式の粗度について、粗度層の流れの特性を究明するための実験を行っているが、本文では最も簡単で球状粗度(径169 $\mu$ )を取扱う。球状粗度については、最近足立教授らによつて研究されているが、実験結果に若干の疑問がある事と、及び各種粗度の研究の予始めと言う意味を取り扱つたものである。

(1) roughness layer 内の流速分布

まず流況を便宜的に、粗面によつて惹起された乱れ層(roughness layer)と、流速分布によつて発生する乱れの卓越する主流部に分ける。roughness layer の解析にあたり、粗度層に於て混合距離  $l$  が一定値  $l_0$  とする考え(足立)と、滑動粘性係数が一定値  $E_0$  とする仮定が考えられる。前者によると、慣用されている記号を用いて、 $z = z_0(1 - \zeta) = rR(\frac{z}{R})$  は球形粗度の頂点( $\zeta=0$ )における流速を  $u_0$  とし  $z$  次式となる。

$$u/u_0 = u_0/u_0 + \frac{u_0^2}{E_0} \{1 - (1 - \zeta)^2\} \quad (1)$$

滑動粘性係数  $E$  を一定  $E = E_0$  とすると、次式の様に成る。

$$u/u_0 = u_0/u_0 + \frac{u_0^2}{E_0} (5 - \frac{\zeta^2}{2}) \quad (2)$$

① 或いは②の流速分布は、粗度の大きさを  $l_0$ 、roughness layer の厚さを  $\delta$ 、その点の流速を  $u$  とすると、

$$u/u_0 = u_0/u_0 + \frac{1}{l_0} l_0 u \quad (3)$$

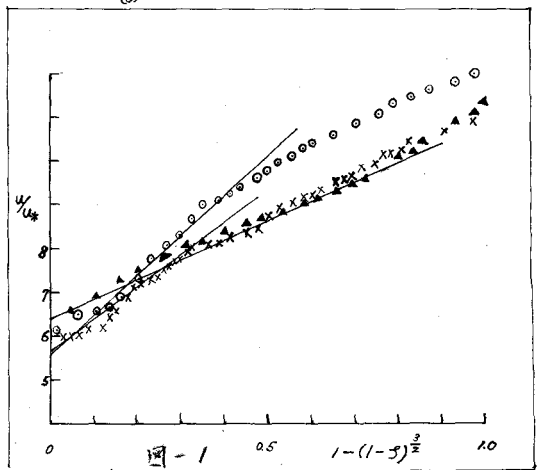
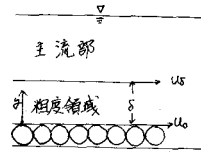
に接続する。従つて、roughness layer 上部の流れは次のように成る。

$$l_0 = \text{一定}; u/u_0 = \frac{u_0}{u_0} + \frac{u_0^2}{E_0} \{1 - (1 - \zeta)^2\} + \frac{1}{l_0} l_0 u \quad (4)$$

$$E_0 = \text{一定}; u/u_0 = \frac{u_0}{u_0} + \frac{u_0^2}{E_0} (1 - \frac{\zeta^2}{2}) + \frac{1}{l_0} l_0 u \quad (5)$$

(2) 粗度層の性質

$u/u_0$  を  $\{1 - (1 - \zeta)^2\}$  或いは、 $(5 - \frac{\zeta^2}{2})$  に対して plot すると、 $u/u_0$  は粗度層内では直線であるから、その勾配から  $l_0$ 、 $E_0$ 、 $\zeta = 0$  に対応する流速から  $u_0$  がわかり、 $u/u_0$  がこの直線からはずれ始める  $\zeta$  が頂を与える。④式による例を図-1 に示した。この様な操作から求めた諸量を図-2、図-3 図-4 に示す。同図には⑤式で求められた足立の実験結果も記入してある。これらの図から④⑤式による差異は殆んど認められず、ほぼ同一の精度を有す。



(i) 粗度層の厚さ  $\delta$ ; 値は  $\delta$  に無関係に一定値を採り平均的には、 $\delta = 2R$  ( $\alpha = 0.6$ ) である。

(ii) 混合距離  $l_0$ ; 足立氏の実験では、 $l_0$  は  $R$  よりも  $R$  に比例する傾向がみられる。この実験は実験範囲が狭いので断定はできないが、値はほぼ一定で平均的には、 $l_0 = \beta R$  ( $\beta = 0.21$ ) と成る。

(iii) 底面流速  $u_w$ ;  $R$  や Reynolds 数等に無関係に  $u_w \approx 0.6$  以上の様に、粗度層内に於ける、粗度による乱れの発生や、粘性消滅等の乱れの機構をさわめて複雑であるのに対して、球形粗度の特性量は、単純な形をもちことに成る。次に、(4)(5)式は  $\delta \rightarrow 0$  のとき Nikuradse の粗法則;  $\frac{u_w}{u_*} = 8.5 + 5.75 \log_{10} \frac{R}{k_s}$  (6) に帰着しはければならぬ。(4)式を、 $\delta \rightarrow 0$  とする(7)式の様に成る。

$$\frac{u_w}{u_*} = \frac{u_w}{u_*} + \frac{u_w}{u_*} - \frac{u_w}{u_*} \log_{10} \frac{R}{k_s} + \frac{u_w}{u_*} \log_{10} \frac{R}{k_s} \quad (7)$$

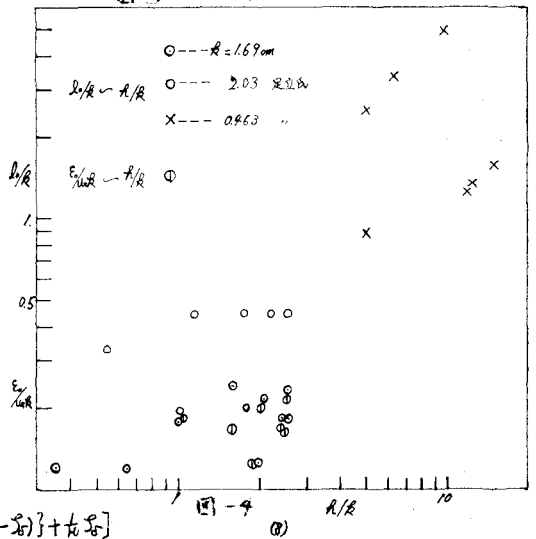
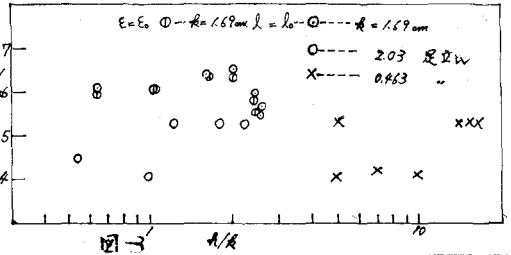
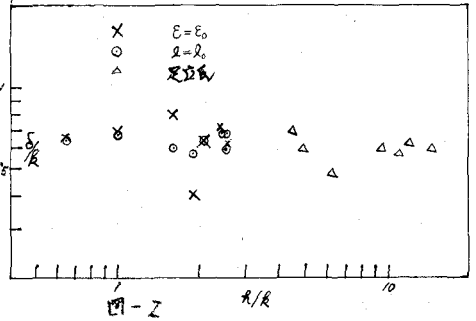
$u_w = 6.0$ ,  $\frac{u_w}{u_*} = \frac{6.0}{0.21} = 28.57$  とすると、 $\frac{u_w}{u_*} = 10.1 + 5.75 \log_{10} \frac{R}{k_s}$  と成り(6)式にくらべて若干大きい。これは球形粗度のつめ方等も関係して、確かな事は言えないが、Nikuradse の実験は細砂を壁面に張り付けたのに対し、この実験では  $R (= 1.69 \text{ cm})$  が大きく粗子間にかんりの水が流れることによるものであろう。実際この実験より細かい砂つめ ( $R = 0.46 \text{ cm}$ ) を用いた足立の実験では  $u_w$  は 50 程度である。細砂の場合、 $u_w \approx 4.5$  程度の値を取ることが予想される。

(3) 平均流速 (4)(5)式を用いて、平均流速を求めると砂面  $\delta$  のとき  $\delta = \frac{u_w}{u_*}$  とし、次式

$$\frac{u_w}{u_*} = \left[ \frac{u_w}{u_*} + \frac{u_w}{u_*} + \frac{u_w}{u_*} \log_{10} \frac{R}{k_s} \right] + \left[ \frac{u_w}{u_*} \log_{10} \left\{ \frac{1 - \frac{u_w}{u_*}}{1 - \frac{u_w}{u_*}} \right\} + \left( 1 - \left( 1 - \frac{u_w}{u_*} \right)^2 \right) \left( 1 - \frac{u_w}{u_*} \right) \right] + \frac{u_w}{u_*}$$

のようになり [ ] 内が対数式からのはずれを表わしている。山間部の溪流を対象として、対数式による  $u_w$  と(6)式による  $u_w$  とを示すと次表のようである。

$R/k_s$	0.6	1	2	4	7	10
$u_w/u_*$ ; (6)式による	7.14	8.06	9.59	11.2	12.6	13.5
$u_w/u_*$ ; 対数式	5.4	4.75	8.5	10.2	11.6	12.5



参考文献

足立・伊藤; 球形粗度の実験的研究, 大 23 回年講  
昭 43 年 10 月